

Zeitschrift: Schweizerische Bauzeitung
Herausgeber: Verlags-AG der akademischen technischen Vereine
Band: 119/120 (1942)
Heft: 11

Artikel: Zur Berechnung des gelenklosen, versteiften Stabbogens
Autor: Schibler, W.
DOI: <https://doi.org/10.5169/seals-52325>

Nutzungsbedingungen

Die ETH-Bibliothek ist die Anbieterin der digitalisierten Zeitschriften auf E-Periodica. Sie besitzt keine Urheberrechte an den Zeitschriften und ist nicht verantwortlich für deren Inhalte. Die Rechte liegen in der Regel bei den Herausgebern beziehungsweise den externen Rechteinhabern. Das Veröffentlichen von Bildern in Print- und Online-Publikationen sowie auf Social Media-Kanälen oder Webseiten ist nur mit vorheriger Genehmigung der Rechteinhaber erlaubt. [Mehr erfahren](#)

Conditions d'utilisation

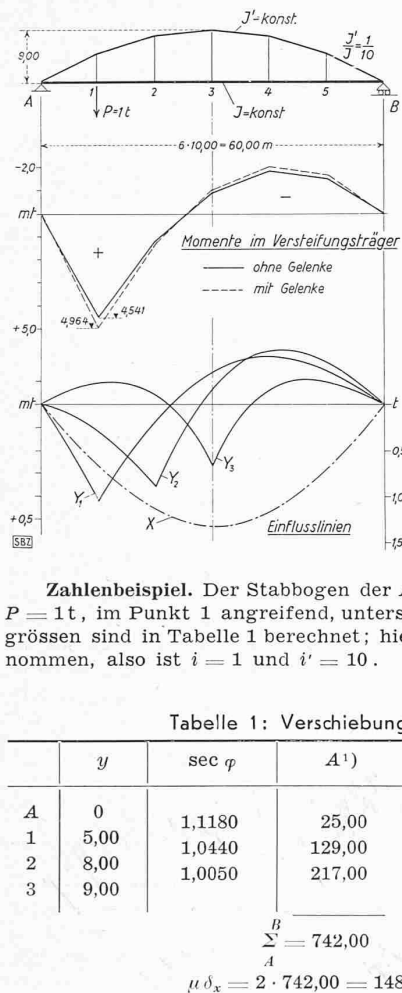
L'ETH Library est le fournisseur des revues numérisées. Elle ne détient aucun droit d'auteur sur les revues et n'est pas responsable de leur contenu. En règle générale, les droits sont détenus par les éditeurs ou les détenteurs de droits externes. La reproduction d'images dans des publications imprimées ou en ligne ainsi que sur des canaux de médias sociaux ou des sites web n'est autorisée qu'avec l'accord préalable des détenteurs des droits. [En savoir plus](#)

Terms of use

The ETH Library is the provider of the digitised journals. It does not own any copyrights to the journals and is not responsible for their content. The rights usually lie with the publishers or the external rights holders. Publishing images in print and online publications, as well as on social media channels or websites, is only permitted with the prior consent of the rights holders. [Find out more](#)

Download PDF: 23.02.2026

ETH-Bibliothek Zürich, E-Periodica, <https://www.e-periodica.ch>



Zahlenbeispiel. Der Stabbogen der Abb. 3 wird für eine Last $P = 1t$, im Punkt 1 angreifend, untersucht. Die Verschiebungsgrößen sind in Tabelle 1 berechnet; hierbei wurde $J_c = J$ angenommen, also ist $i = 1$ und $i' = 10$.

Tabelle 1: Verschiebungsgrößen

	y	$\sec \varphi$	$A^1)$	$B^2)$
A	0	1,1180	25,00	$5,000 = -\mu \alpha_{4x}$
1	5,00	1,0440	129,00	$28,000 = -\mu \alpha_{1x}$
2	8,00	1,0050	217,00	$46,000 = -\mu \alpha_{2x}$
3	9,00			$52,000 = -\mu \alpha_{3x}$
			$\Sigma = 742,00$	
			$\mu \delta_x = 2 \cdot 742,00 = 1484,00 \text{ m}^2$	

(Forsetzung siehe rechts oben)

$$\begin{aligned}
 1) \quad A &= y_m - 1^2 + y_m - 1 y_m + y_m^2 \\
 2) \quad B &= y_m - 1 + 4 y_m + y_m + 1 \\
 3) \quad C &= 2 M_0 \frac{y}{m-1} + M_0 \frac{y}{m-1} + M_0 \frac{y}{m} + 2 M_0 \frac{y}{m-1} \\
 4) \quad D &= M_0 \frac{y}{m-1} + 4 M_0 \frac{y}{m} + M_0 \frac{y}{m+1}
 \end{aligned}$$

(Schluss von Seite 112)

5 Werkstoff und Herstellung. Festigkeitswerte

51 Durch spanabnehmende Verfahren aus Normalstählen hergestellte Schrauben. Die bis heute durchgeführten Dauerversuche an geschnittenen Mutterschrauben aus normalen Schraubenstählen sind in dem Dauerfestigkeits-schaubild (Abbildung 34) zusammengefasst. Man erkennt aus diesem Schaubild die schon erwähnte, für alle Schraubenverbindungen geltende grundsätzliche Tatsache, dass für die Dauerhaltbarkeit einer wechselnd belasteten Schraube nicht die absolute Höhe der Beanspruchung (= Vorspannung + Anteil der Betriebskraft) massgebend ist, sondern allein die Differenz zwischen der auftretenden kleinsten und grössten Beanspruchung in der Schraube. Der ertragbare Spannungsausschlag σ_w^K ist praktisch über den ganzen nutzbaren Vorspannungsbereich gleich gross; die Höhe der Vorspannung übt nur einen geringen Einfluss auf die Grösse von σ_w^K aus. Bei geringerer oder fehlender Vorspannung nimmt allerdings der ertragbare Spannungsausschlag wesentlich ab. Der Einfluss des Schraubendurchmessers geht

Abb. 3 veranschaulicht das Ergebnis der Rechnung; sie zeigt auch den Verlauf der Einflusslinien der statisch unbestimmten Größen, die durch die Berechnung für $P = 1t$ in 2 und 3 erhalten wurden.

	M_0	$C^3)$	$D^4)$
A	0	83,33	$8,333 = \mu \alpha_{40}$
1	8,333	290,00	$40,000 = \mu \alpha_{10}$
2	6,667	296,67	$40,000 = \mu \alpha_{20}$
3	5,000	213,33	$30,000 = \mu \alpha_{30}$
4	3,333	100,00	$20,000 = \mu \alpha_{40}$
5	1,667	16,67	$10,000 = \mu \alpha_{50}$
B	0		$1,667 = \mu \alpha_{B0}$

$$\Sigma = 1000,00 \text{ m}^2 t = -\mu \delta_0$$

$$\begin{aligned}
 \mu \alpha_{44} &= 2(1 + 11,180) = 24,360 & \mu \alpha_{41} &= 1 + 11,180 = 12,180 \\
 \mu \alpha_{11} &= 2(1 + 11,180 + 10,440 + 1) = 47,240 & \mu \alpha_{12} &= 1 + 10,440 = 11,440 \\
 \mu \alpha_{22} &= 2(1 + 10,440 + 10,050 + 1) = 44,980 & \mu \alpha_{23} &= 1 + 10,050 = 11,050 \\
 \mu \alpha_{33} &= 2(1 + 10,050 + 10,050 + 1) = 44,200
 \end{aligned}$$

Nehmen wir als Näherungswert für X den Horizontalschub des gelenkigen Stabbogens

$$H = X_s = \frac{1000,00}{1484,00} = 0,67385 \text{ t}$$

so erhalten wir folgendes Gleichungssystem, wobei die L -Werte nach (4) berechnet sind, z. B.

$$\mu L_1 = 0,67385 \cdot (-28,000) + 40,000 = +21,132$$

Y_A	Y_1	Y_2	Y_3	Y_4	Y_5	Y_B	L
24,360	12,180						+ 4,964
12,180	47,240	11,440					+ 21,132
	11,440	44,980	11,050				+ 9,003
		11,050	44,200	11,050			- 5,040
			11,050	44,980	11,440		- 10,997
				11,440	47,240	12,180	- 8,868
					12,180	24,360	- 1,703

Die Lösungen sind aus der ersten Zeile der Tabelle 2 (unten) ersichtlich; aus ihnen lässt sich der verbesserte Wert von X gemäss (5) berechnen:

$$\bar{X} = -\frac{1000,00 - 0,41}{1484,00} = 0,67413 \text{ t}$$

Eine Wiederholung der Rechnung mit \bar{X} gibt die Lösungen der zweiten Zeile, und $\bar{X} = 0,67415 \text{ t}$. (X_s nach Gleichung (3) beträgt 0,67735 t).

Tabelle 2: Momente im Stabbogen

Y_A	Y_1	Y_2	Y_3	Y_4	Y_5	Y_B
+0,0066	-0,4207	-0,1171	+0,0973	+0,1841	+0,1436	-0,0019
+0,0066	-0,4206	-0,1169	+0,0975	+0,1843	+0,1437	-0,0019

ebenfalls aus dem angeführten Schaubild hervor. Mit zunehmender Grösse scheint bei geschnittenen Schrauben die Zugdauerhaltbarkeit nach der Kurve Abb. 35 abzuflauen; kleinere Schrauben zeigen grössere Dauerhaltbarkeiten. Versuche an grösseren Schrauben fehlen; ebenso konnte kein eindeutiger Einfluss der Gewindefeinheit auf den ertragbaren Spannungsausschlag nachgewiesen werden.

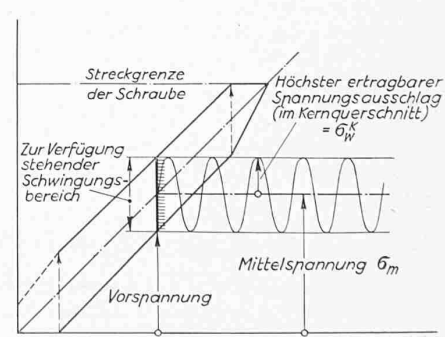
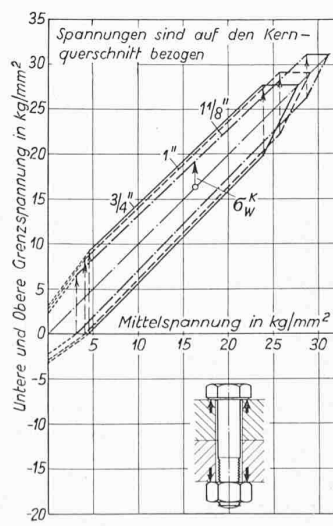


Abbildung 34.
Dauerfestigkeits-Schaubild
einiger Normschrauben mit
Whitworthgewinde